

瀧上工業株 熊沢周明

" ○安藤浩吉

" 速田清

1. まえがき

吊橋の主ケーブルは塔柱、あるいはアンカーブロック附近のスプレーサドルによつて数本のケーブルに分岐され、アンカーされるのが普通である。しかし、小吊橋においては、バックスティーの美観上、またはアンカーブロックの簡素化の理由から、この分岐点（スプレーバンド）を塔柱とアンカーブロックとの中間に空中に設ける場合がある。この場合は分岐点が水平、鉛直方向ともに移動し、とくに、架設中のケーブル張力の変動にともなつて、鉛直方向の移動が大きく、分岐点からアンカーパーまでの各ケーブル間の形状、および張力の変化が著しい。

本文はこの場合の簡単な計算式、およびそれを使用して（DEMOS使用）空中に分岐点のある場合のバックスステークーブルについて、2, 3の考察をしてみた。

2. 計算式

ケーブルは完全に可撓性で、自重または等分布荷重のもとでケーブルの形状は放物線と仮定する。いま、図-1に示すように、1本のケーブルが分岐点においてm本のケーブルに分岐され、それらが図-2に示すように左右対称になつてアンカーサれている場合、各ケーブルの無応力長、重量、および剛性

をそれぞれ、 $C_i$ 、 $W_i$ 、および $EA_i$ とし、それらが張渡されている区間の長さ、高さ、およびアンカーパーの奥行をそれぞれ、 $b_i$ 、 $h_i$ 、および $\lambda_i$ とすれば、分岐点の位置 $x_0$ 、 $y_0$ （未知数）を用いるとつきの式が成立する。

各ケーブル張力の水平成分、 $H_i$ 、および鉛直成立、 $V_i$ は

$$H_i = \frac{W_i x_i}{8 f_i} \quad (1) \quad V_i = H_i (\pm 4 n_i + \tan \alpha_i) \quad (2)$$

各ケーブルの曲線長 $S_i$ は、サク比 $n_i$ が小さいものとして

$$S_i = x_i (\sec \alpha_i + \frac{8}{3 \sec^3 \alpha_i} n_i^2) \quad (3)$$

各ケーブルの弾性のび△ $S_i$ は

$$\Delta S_i = \frac{H_i x_i}{E A_i} (\sec^2 \alpha_i + \frac{16}{3} n_i^2) \quad (4) \text{である。}$$

ここで、 $n_i = \frac{f_i}{x_i}$  (5)  $\sec \alpha_i = \sqrt{1 + (\frac{y_i}{x_i})^2}$  (6) であり、 $x_i$ はケーブルの方向にそつた水平距離である。

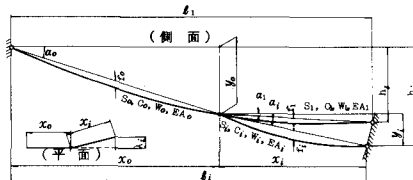


図-1

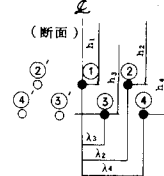


図-2

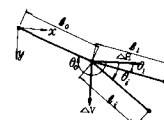


図-3

つぎに、各ケーブルの無応力長 $C_i$ は、線膨張係数 $\alpha$ 、および温度差 $\tau$ として、

$$C_i = \frac{S_i - \Delta S_i}{1 + \alpha \tau} = \text{Const.} \quad (7) \text{である。}$$

式(1)から(6)までは $i=0, 1, 2, \dots, m$ までの $m+1$ 組が存在し、これらを用いて分岐点における力のつり合いを考えれば

$$H_0 = \sum_{i=1}^m H_i \sec \phi_i \quad (8) \quad V_0 = \sum_{i=1}^m V_i \quad (9) \text{となる。}$$

したがつて、式(1)から(6)までのグループを $m+1$ 組と式(8)、および(9)を連立方程式として解けば、 $H_i$ 、 $V_i$ 、 $x_i$ 、 $y_i$ 、 $f_i$ などを求めることができる。

しかし、上記の連立方程式は多元高次連立方程式となつて、直接解くことは困難であるので、本文ではつぎに示すようなくくり返し計算を行なつた。

式(6)に式(3)、(4)、および(5)を代入し、 $f_i$ について整理すると、 $f_i$ の3次式

$$A_1 f_i^3 + A_2 f_i^2 + A_3 f_i + A_4 = 0 \quad (10) \quad i = 0, 1, 2 \dots m$$

$$A_1 = \frac{8}{3x_i \sec^3 \alpha_i} \quad A_2 = -\frac{16w_i}{24EA_i} \quad A_3 = x_i \sec \alpha_i - c_i \quad A_4 = -\frac{w_i x_i^2}{8EA_i} \sec^2 \alpha_i \quad \text{となる。}$$

式(10)に対して、 $x_o, y_o$ を適当に仮定し、 $f_i$  ( $0 < f_i$ )を $m+1$ 組について求め、式(11)、および(2)より各*i*に対応する $\theta_i$ 、および $v_i$ を求める。これらを式(8)、および(9)の換算、すなわち、

$$H_o - \sum_{i=1}^m H_i \sec \phi_i = \Delta H \quad (8)' \quad V_o - \sum_{i=1}^m V_i = \Delta V \quad (9)' \quad \text{として計算し、不平衡力 } |\Delta H|, |\Delta V| \leq \varepsilon \quad (\text{許容誤差}) \text{ になるまで } x_o, \text{ および } y_o \text{ を修正してくり返し計算を行なう。この場合の一つの方法としては、図-3に示すよう、全体を直線と仮定した骨組構造の分岐点に、不平衡力 } \Delta H, \text{ および } \Delta V \text{ が作用したときの分岐点の弾性変位 } \Delta x, \text{ および } \Delta y \text{ を求め、すなわち、連立一次方程式 (11) を}$$

$$\left. \begin{aligned} \left( \sum_{i=0}^m \frac{EA_i}{l_i} \cos^2 \theta_i \right) \Delta x + \left( \sum_{i=0}^m \frac{EA_i}{l_i} \sin \theta_i \cos \theta_i \right) \Delta y &= \Delta H \\ \left( \sum_{i=0}^m \frac{EA_i}{l_i} \sin \theta_i \cos \theta_i \right) \Delta x + \left( \sum_{i=0}^m \frac{EA_i}{l_i} \sin^2 \theta_i \right) \Delta y &= \Delta V \end{aligned} \right\} \quad (11)$$

解いて、新しい仮定値、 $x'_o = x_o + \Delta x \cdot \gamma, y'_o = y_o + \Delta y \cdot \gamma$  を作る。ここに $\gamma$ はダンピング定数で、本文の場合では $\varepsilon = \frac{H_o}{10000}$ または $\varepsilon = \frac{V_o}{10000}$ として、 $\frac{\gamma}{x} = 0.001 \sim 0.03$  程度で $\gamma = 0.1 \sim 2$  ぐらいが最も早く収束した。

### 3. 計算例および考察

図-4に示すように、分岐点において7本のケーブルに分岐したバックステーが完成時において、すべて等しい張力となるように張渡されている。この場合の結果は表-1のようである。

この結果から、ケーブル張渡し時においても、ケーブルの奥行方向の広がりについては、ほとんど張力差はなく、上下方向の広がりにおいて著しい。そこで、上段、および下段ケーブルをまとめて1本のケーブルとみなし、結果をまとめたケーブル本数で割った場合として、ケーブル張渡し時から完成時までについて、2.3考察してみよう。

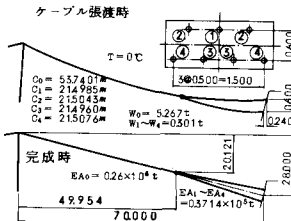


図-4

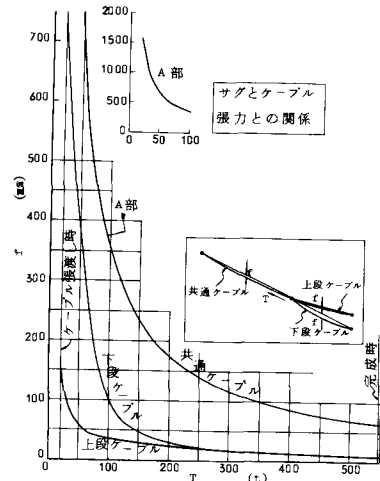


図-5

図-5は各ケーブルのサグと張力の関係を示したものである。

ケーブル張渡し時では、上下段のサグの差は非常に大きいが、 $T=300$ t程度となるとほとんど一致する。

図-6は上下段ケーブルの張力比と張力の関係を示したものである。ケーブル張渡し時では、下段ケーブルは上段ケーブルの約20%の張力であるが、急激に変化し完成時では上下等しくなる。

図-7は下段ケーブルの無応力長を正規の長さより±10mmまで変化させた場合のケーブル張渡し時、および完成時の上下段ケーブルの張力比を示したものである。

以上考察については紙面の都合でかなり省略したが、当日説明を加える。

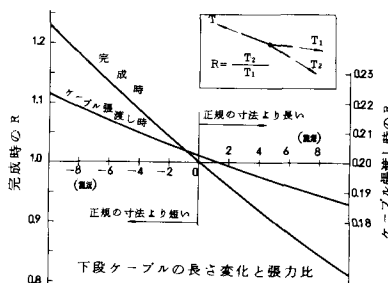


図-7

$N$	$x_i$ (m)	$T$ (t)	$N$	$x_i$ (m)	$T$ (t)
0	1.584	21.357 (21.355)	0	0.065	547.042 (547.244)
1	0.145	5.612	1	0.010	7.8150 (7.8075)
2	0.145	5.621 (5.615)	2	0.010	7.8111
3	0.789	1.129 (1.157)	3	0.010	7.8261
4	0.789	1.130	4	0.010	7.8223

表-1

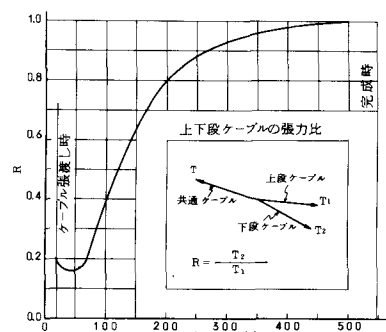


図-6